Tom 183

1968

методика определения напряженного состояния измерением твердости в пластинах с отверстиями

б. п. чебаевский, в. д. дель

(Представлена научным семинаром кафедры сопротивления материалов)

В статье излагается методика определения напряжений в пластической области измерением твердости в пластинах с отверстиями. Исследование проводилось на латунных пластинах, растягиваемых внешней силой (рис. 1). Контур AB свободен от нагрузок. Ось x является осью симметрии. Требуется определить напряжения в пластической области, примыкающей к контуру AB.

Нанесем на указанную область квадратную сетку с шагом $\Delta=1$ мм Замерив в узлах сетки твердость, с помощью тарировочного графика «твердость—интенсивность напряжений» [1] определим интенсивность напряжений σ_i . Вдоль AB напряжение, нормальное к контуру равно 0, а направленное вдоль контура равно σ_i . Для определенности положим $\sigma_1=0$, $\sigma_2=\sigma_i$. Определим напряжения в ближайшем к контуру столбце. В точке o.o $\sigma_x=0$, $\sigma_y=\sigma_i$, $\tau_{xy}=0$. Для определения напряжений в последующих точках поступим следующим образом. В точке o.o

$$\frac{\partial \sigma_1}{\partial S_1} + \frac{\sigma_1 - \sigma_2}{\rho_2} = 0, \quad \left(\frac{\partial \sigma_1}{\partial S_1}\right)_{o,o} = \left(\frac{\sigma_i}{\rho_2}\right)_{o,o},\tag{1}$$

где S_1 — координата, отсчитываемая вдоль траектории σ_1 ; ρ_2 — радиус кривизны в точке o.o, тогда

$$(\sigma_x)_{0.1} = (\sigma_1)_{0.0} + \left(\frac{\partial \sigma_1}{\partial S_1}\right)_{0.0} \cdot \Delta. \tag{2}$$

Для определения (о2)0.1 привлекаем уравнение

$$\sigma_1^2 + \sigma_2^2 - \sigma_1 \cdot \sigma_2 = \sigma_i^2. \tag{3}$$

$$(\sigma_{y})_{0,1} = (\sigma_{2})_{0,1} = \frac{(\sigma_{1})_{0,1} \pm \sqrt{4(\sigma_{i})_{0,1}^{2} - 3(\sigma_{1})_{0,1}^{2}}}{2}.$$
 (4)

(Выбор знака осуществляется в соответствии с конкретными условиями). Напряжения в системе осей x, у определяются по известным соотношениям:

$$\sigma_{x} = \frac{\sigma_{1} + \sigma_{2}}{2} + \frac{\sigma_{1} - \sigma_{2}}{2} \cdot \cos 2\theta,$$

$$\sigma_{y} = \frac{\sigma_{1} + \sigma_{2}}{2} - \frac{\sigma_{1} - \sigma_{2}}{2} \cos 2\theta, \quad \tau_{xy} = \frac{\sigma_{1} - \sigma_{2}}{2} \cdot \sin 2\theta. \quad (5)$$

Выразим напряжения в точках нулевого столбца через напряжения в точках первого столбца и напряжения на контуре AB, рассчитанные по формулам (5). Для точки 1,0, например, можем записать

$$(\sigma_{x})_{1.0} \approx (\sigma_{x})_{\kappa} + \left(\frac{\partial \sigma_{x}}{\partial x}\right)_{\kappa} \cdot \delta,$$

$$(\sigma_{y})_{1.0} \approx (\sigma_{y})_{\kappa} + \left(\frac{\partial \sigma_{y}}{\partial y}\right)_{\kappa} \cdot \delta,$$

$$(\tau_{xy})_{1.0} \approx (\tau_{xy})_{\kappa} + \left(\frac{\partial \tau_{ry}}{\partial x}\right)_{\kappa} \cdot \delta.$$
(6)

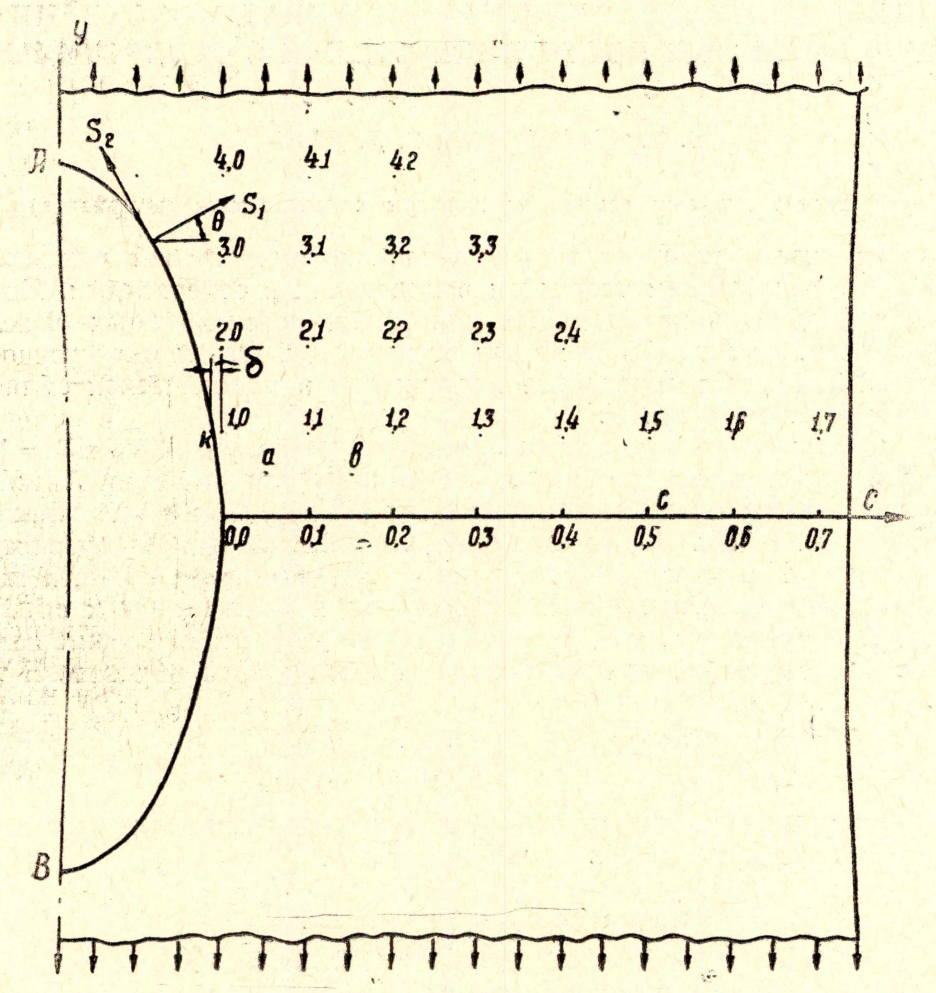


Рис. 1. Расчетная схема

Или в конечных разностях

$$(\sigma_x)_{1.0} \approx (\sigma_x)_{\kappa} + \frac{(\sigma_x)_{1.1} - (\sigma_x)_{\kappa}}{\Delta + \delta} \cdot \delta,$$
 $(\sigma_y)_{1.0} \approx (\sigma_y)_{\kappa} + \frac{(\sigma_y)_{1.1} - (\sigma_y)_{\kappa}}{\Delta + \delta} \cdot \delta,$
 $(\tau_{xy})_{1.0} \approx (\tau_{xy})_{\kappa} + \frac{(\tau_{xy})_{1.1} - (\tau_{xy})_{\kappa}}{\Delta + \delta} \cdot \delta.$

A THE THE REST A

Для определения напряжений в точке 1.1 составляем уравнения равновесия для точки a (рис. 1)

$$\frac{\partial z_x}{\partial x} + \frac{\partial z_{xy}}{\partial y} = 0, \tag{7}$$

$$\frac{\partial \sigma_{\mathbf{y}}}{\partial \mathbf{y}} + \frac{\partial \tau_{\mathbf{x}\mathbf{y}}}{\partial \mathbf{x}} = 0, \tag{8}$$

Или в конечных разностях

$$(\sigma_x)_{1.1} - (\sigma_x)_{1.0} + (\sigma_x)_{0.1} - (\sigma_x)_{0.0} + (\tau_{xy})_{1.0} + (\tau_{xy})_{1.1} - \tau_{xy0.0} - (\tau_{xy})_{0.1} = 0,$$

$$(\sigma_y)_{1.1} + (\sigma_y)_{1.0} - (\sigma_y)_{0.1} - (\sigma_y)_{0.0} + (\tau_{xy})_{1.1} + (\tau_{xy})_{0.1} - (\tau_{xy})_{0.0} - (\tau_{xy})_{0.0} = 0,$$

Привлекая уравнение

$$(\sigma_{\mathbf{v}})_{1,1}^{2} + (\sigma_{\mathbf{x}})_{1,1}^{2} - (\sigma_{\mathbf{v}})_{1,1} \cdot (\sigma_{\mathbf{x}})_{1,1} + 3(\tau_{\mathbf{x}\mathbf{v}})_{1,1}^{2} = (\sigma_{\mathbf{i}})_{1,1}^{2}$$
(9)

и решая совместно уравнения (7), (8), (9), определяем напряжения в точке 1.1

$$(\tau_{xv})_{1.1} = \frac{B - aA}{a^2 - 1}, \ (\sigma_y)_{1.1} = \frac{A - aB}{a^2 - 1},$$

$$(\sigma_x)_{1.1} = \frac{(\sigma_y)_{1.1} \pm \sqrt{4 (\sigma_i)_{1.1}^2 - 12 (\tau_{xy})_{1.1}^2 - 3 (\sigma_y)_{1.1}^2}}{2}.$$
(10)

Здесь

$$A = \{(\sigma_{x})_{0.1} - (\sigma_{x})_{\kappa} - (\sigma_{x})_{0.0} + (\tau_{xy})_{\kappa} - (\tau_{xy})_{0.0} - (\tau_{xy})_{0.1} + \delta [(\sigma_{x})_{0.1} - (\sigma_{x})_{0.0} - (\tau_{xy})_{0.0} - (\tau_{xy})_{0.1}]\},$$

$$B = \{(\sigma_{y})_{\kappa} - (\sigma_{y})_{0.1} - (\sigma_{y})_{0.0} + (\tau_{xy})_{0.1} - (\tau_{xy})_{\kappa} - (\tau_{xy})_{0.0} + \delta [(\tau_{xy})_{0.1} - (\sigma_{y})_{0.1} - (\sigma_{y})_{0.0} - (\tau_{xy})_{0.0}]\}.$$

$$a = 1 + 2\delta.$$

Аналогично определяем напряжения во всех точках первого столбца, а по формулам (6) определим напряжения в точках нулевого столбца.

Для определения напряжений (σ_x) в точках второго столбца записываем уравнение равновесия (7) в конечных разностях для соответствующих точек первого столбца. Для точки 0,1 оно будет

$$(\sigma_x)_{0.2} - (\sigma_x)_{0.0} + 2(\tau_{xy})_{1.1} = 0.$$

Отсюда

$$(\sigma_x)_{0.2} = (\sigma_x)_{0.0} - 2(\tau_{xy})_{1.1}.$$

По формулам (4) для точки 0.2 определяем (σ_y). Чтобы определить напряжение (σ_y), (τ_{xy}) в точке 1.2, записываем уравнение (7) в конечных разностях для точки b (рис. 1):

$$(\tau_{xy})_{1.2} - (\tau_{xy})_{0.2} + (\tau_{xy})_{1.1} - (\tau_{xy})_{0.1} + (\sigma_{x})_{1.2} + (\sigma_{x})_{0.2} - (\sigma_{x})_{1.1} - (\sigma_{x})_{0.1} = 0.$$
(11)

Отсюда

$$(\tau_{xy})_{1.2} = C - (\sigma_x)_{1.2},$$

где

$$C = (\tau_{xy})_{0.2} - (\tau_{xy})_{1.1} + (\tau_{xy})_{0.1} - (\sigma_{x})_{0.2} + (\sigma_{x})_{1.1} + (\sigma_{x})_{0.1}.$$

Решая уравнение (9) для точки 1.2, получаем

$$(\sigma_{\mathbf{y}})_{1,2} = \frac{(\sigma_{\mathbf{x}})_{1,2} \pm \sqrt{4(\sigma_{\mathbf{i}})_{1,2}^{2} - 12(\tau_{\mathbf{x}\mathbf{y}})_{1,2}^{2} - 3(\sigma_{\mathbf{x}})_{1,2}^{2}}}{2}.$$

Далее по приведенной схеме определяем напряжения и в остальных точках пластической области.

По этой методике на ЭЦВМ «Минск-1» были рассчитаны напряжения в треугольной области АВС (рис. 1). Полученные эпюры напряжений пооси х сравнивались с аналогичными эпюрами, полученными измерением твердости и поперечной деформации [2]. Обе эпюры приведены на рис. 2.

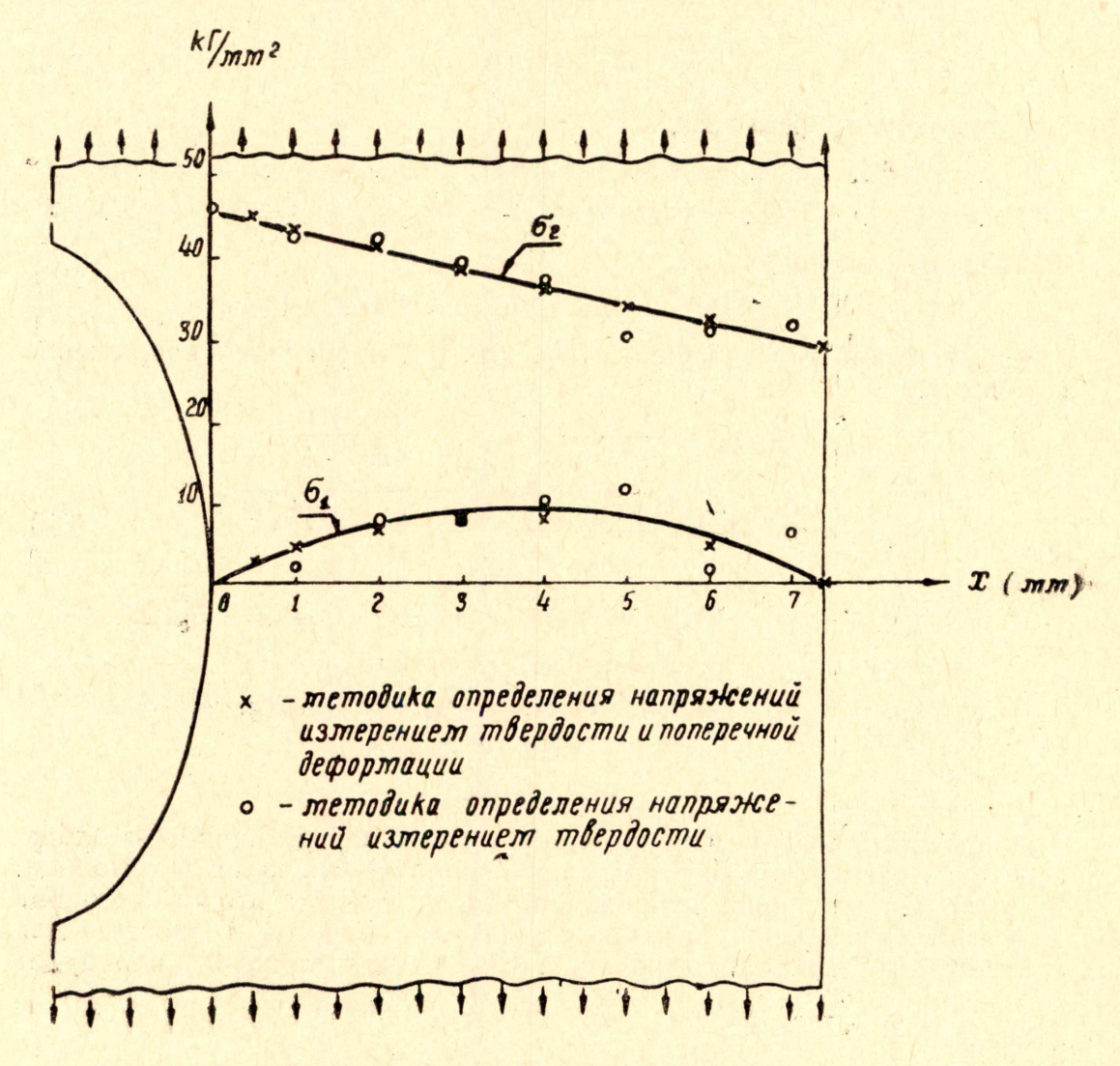


Рис. 2. Эпюры главных напряжений по оси х

Предполагая деформацию равномерной по толщине пластины, мы проверяли полученную эпюру σ_2 по растягивающему усилию. Разница между расчетным и фактическим растягивающими усилиями не превышает 4%.

ЛИТЕРАТУРА

1. Г. Д. Дель. «Твердость деформированного металла». Изв. АН СССР, «Метал-лы, № 4, 1967.
2. Г. Д. Дель. «Определение напряженного состояния материала измерением: «твердости», Труды метрологических институтов СССР, вып. 91, 1967.